

MÉTODO DE DIFERENÇAS FINITAS APLICADO A PROBLEMAS DE VALOR DE CONTORNO PARA EDO'S LINEARES DE SEGUNDA ORDEM

CRISTIAN DA SILVA MENDES¹; JEFERSON MEIRA²; RUTH DA SILVA BRUM³, LESLIE DARIEN PÉREZ FERNÁNDEZ⁴

¹Universidade Federal de Pelotas (UFPel) – cristiansmendes @hotmail.com ²Universidade Federal de Pelotas (UFPel) – meiraengagricola @gmail.com ³Universidade Federal de Pelotas (UFPel) - ruth.silva.brum @ufpel.edu.br

1. INTRODUÇÃO

O objetivo deste trabalho é estudar a resolução, através do método de diferenças finitas (MDF), de PVCs definidos por uma EDO linear de segunda ordem

$$y'' + f(x)y + g(x)y = q(x), \ x \in (a, b),$$
 (1)

com f(x), g(x) e q(x) funções conhecidas, e sujeita às condições de contorno

$$y(a) = \alpha, \qquad y(b) = \beta. \tag{2}$$

Este trabalho é motivado pela modelagem da condução do calor no solo como etapa inicial do estudo de trocadores de calor solo-ar para regulação sustentável da temperatura com aplicações, por exemplo, em conforto térmico habitacional e estabilidade térmica em armazenagem (BRUM, 2013; NÓBREGA, 2021). Inicialmente utiliza-se um modelo espacialmente unidimensional para obter a função $\theta = \theta(z,t)$ do desvio da temperatura com relação à média T_0 do solo na profundidade z e no instante de tempo t. Tal modelo é definido pelo problema

$$\frac{\partial \theta}{\partial t} = \alpha \frac{\partial^2 \theta}{\partial z^2}, \qquad \theta(0, t) = \theta_0 \sin \omega t, \quad \theta(+\infty, t) = 0,$$

em que α é a difusividade térmica do solo, θ_0 é a amplitude inicial da variação de temperatura, e ω é a frequência. Após separar variáveis na equação desse problema fazendo $\theta(z,t)=\phi(z)\tau(t)$, obtém-se o PVC

$$\phi'' - c\phi = 0$$
, $\phi(0) = \theta_0$, $\phi(+\infty) = 0$,

em que c é uma constante, e cuja EDO é de segunda ordem, linear, homogênea e com coeficientes constantes e que é um caso particular da EDO (1). Ainda, na prática, a condição de contorno no infinito pode ser trocada por uma condição do tipo $\phi(Z)=0$, para Z>0 fixo suficientemente grande, e que é um caso particular da segunda condição em (2). Isto justifica o tipo dos três exemplos neste trabalho.

2. METODOLOGIA

Seguindo Conte & de Boor (1980), nesta seção apresenta-se a aplicação do MDF ao PVC (1)-(2). Para isto, divide-se o intervalo [a,b] em N partes iguais de comprimento h, sendo $x_0 = a$, $x_N = b$ e $x_n = x_0 + nh$, $n = 1,2,\ldots,N-1$, os pontos da malha resultante, em que os valores de y correspondentes são $y_n = y(x_0 + nh)$, $n = 0,1,\ldots,N$. Ainda, para resolver o PVC pelo MDF, cada derivada na EDO (1) é

⁴Universidade Federal de Pelotas (UFPel) – leslie.fernandez @ufpel.edu.br



substituída por uma aproximação em diferenças, que, neste trabalho, são as seguintes diferenças centrais para as derivadas de primeira e segunda ordens:

$$y'(x_n) \approx \frac{y_{n+1} - y_{n-1}}{2h}, \qquad y''(x_n) \approx \frac{y_{n+1} - 2y_n + y_{n-1}}{h^2}.$$
 (3)

Assim, segue de (3) que a aproximação em diferenças da EDO (1) é

$$\frac{y_{n-1}-2y_n+y_{n+1}}{h^2}+f_n\frac{y_{n+1}-y_{n-1}}{2h}+g_ny_n=q_n, \qquad n=1,2,\ldots,N-1,$$
 (4)

em que $f_n = f(x_n)$, $g_n = g(x_n)$, $q_n = q(x_n)$. Multiplicando (4) por h^2 e agrupando termos semelhantes, tem-se

$$(1 - \frac{h}{2}f_n)y_{n-1} + (-2 + h^2g_n)y_n + (1 + \frac{h}{2}f_n)y_{n+1} = h^2q_n, \quad n = 1, 2, \dots, N-1.$$
 (5)

Sendo $y_0 = \alpha$ e $y_N = \beta$ conhecidos de (2), segue que (5) é um sistema de N-1 equações lineares com N-1 incógnitas $y_n, n=1,2,\ldots,N-1$, da forma:

$$(-2 + h^{2}g_{1})y_{1} + \left(1 + \frac{h}{2}f_{1}\right)y_{2} = h^{2}q_{1} - \left(1 - \frac{h}{2}f_{1}\right)\alpha,$$

$$\left(1 - \frac{h}{2}f_{2}\right)y_{1} + (-2 + h^{2}g_{2})y_{2} + \left(1 + \frac{h}{2}f_{2}\right)y_{3} = h^{2}q_{2},$$

$$\left(1 - \frac{h}{2}f_{3}\right)y_{2} + (-2 + h^{2}g_{3})y_{3} + \left(1 + \frac{h}{2}f_{3}\right)y_{4} = h^{2}q_{3},$$

$$\vdots$$

$$\left(1 - \frac{h}{2}f_{N-2}\right)y_{N-3} + (-2 + h^{2}g_{N-2})y_{N-2} + \left(1 + \frac{h}{2}f_{N-2}\right)y_{N-1} = h^{2}q_{N-2},$$

$$\left(1 - \frac{h}{2}f_{N-1}\right)y_{N-2} + (-2 + h^{2}g_{N-1})y_{N-1} = h^{2}q_{N-1} - \left(1 + \frac{h}{2}f_{N-1}\right)\beta.$$
(6)

Como o sistema (6) é tridiagonal, neste trabalho emprega-se o algoritmo 4.3, página 154, de Conte & de Boor (1980), desenvolvido para tal tipo de sistemas.

Na próxima seção apresenta-se resultados computacionais desta aplicação do MDF obtidos a partir da sua implementação no software livre Octave, que é uma linguagem de alto nível para computação numérica (https://octave.org/).

3. RESULTADOS E DISCUSSÃO

A seguir aplica-se o MDF em três PVCs formados pelas seguintes EDOs homogêneas com coeficientes constantes:

$$y'' - 5y' + 4y = 0, (7)$$

$$y'' + 2y' + y = 0, (8)$$

$$y'' - 2y' + 2y = 0, (9)$$

e as condições de contorno

$$y(0) = 1, \ y(1) = 0,$$
 (10)



respectivamente. As EDOs desses três PCVs têm dois autovalores reais diferentes, um autovalor real de multiplicidade 2, e dois autovalores complexos conjugados, respectivamente. As soluções exatas desses PVCs, obtidas por técnicas tradicionais de resolução analítica de EDOs lineares homogêneas com coeficientes constantes (ver: BOYCE; DiPRIMA, 2010), são as seguintes:

$$y = \frac{e^{4x} - e^{x+3}}{1 - e^3}$$
 (do PVC (7) e (10)), (11)

$$y = e^{-x}(1-x)$$
 (do PVC (8) e (10)), (12)

$$y = e^x(\cos x - \cot 1 \sin x)$$
 (do PVC (9) e (10)). (13)

Nas figuras 1, 2 e 3 a seguir apresentam-se as comparações das soluções exatas analíticas (11), (12) e (13) (curvas vermelhas) dos PVCs (7) e (10), (8) e (10), e (9) e (10), respectivamente, com as soluções numéricas correspondentes (circunferências azuis) obtidas com a implementação do MDF com N=100. Nos três casos, observa-se que as soluções analíticas e numéricas são praticamente indistinguíveis, sendo as diferenças máximas entre elas de ordens 10^{-4} , 10^{-6} e 10^{-5} , respectivamente.

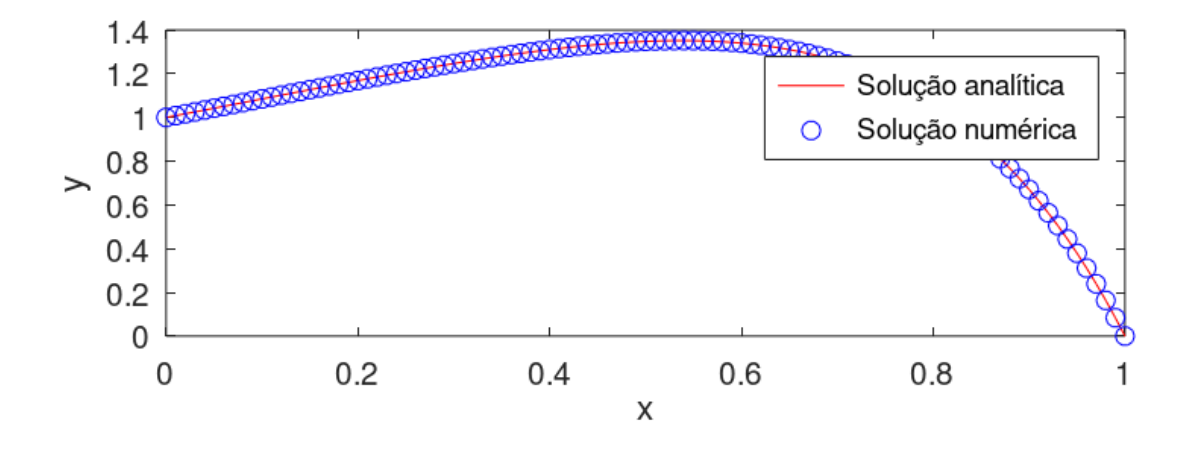


Figura 1. Soluções analítica e numérica do PVC definido por (7) e (10).

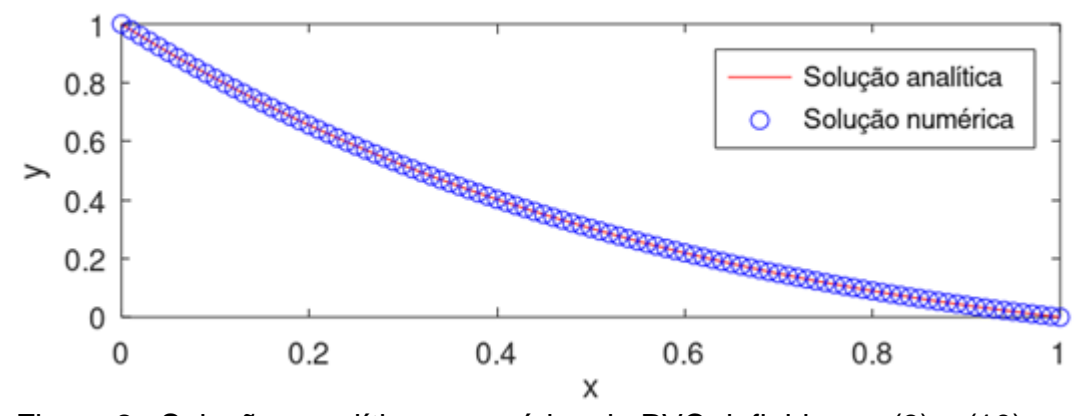


Figura 2. Soluções analítica e numérica do PVC definido por (8) e (10).

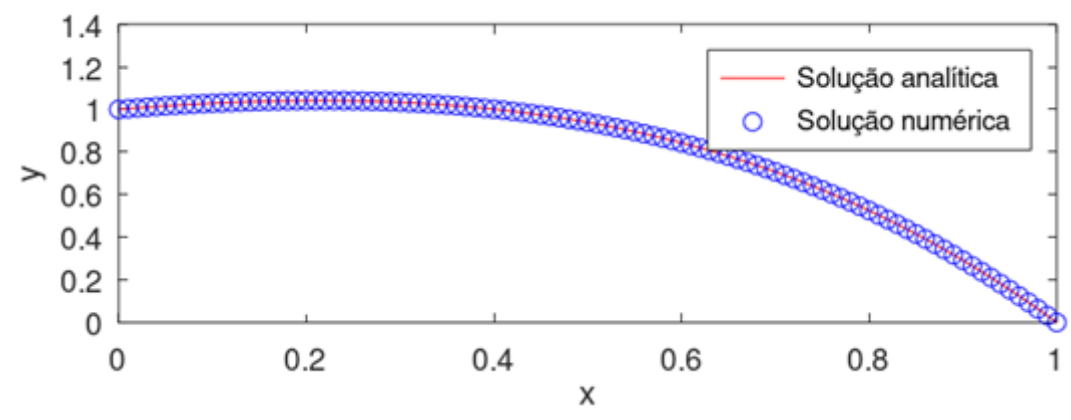


Figura 3. Soluções analítica e numérica do PVC definido por (9) e (10).

4. CONCLUSÕES

Neste trabalho foi apresentado a aplicação do MDF à resolução de PVCs para EDOs lineares de segunda ordem sujeitas a condições de Dirichlet. O MDF desenvolvido para este tipo de PVCs foi implementado em Octave e aplicado em três exemplos de EDOs homogêneas com coeficientes constantes correspondentes aos casos de dois autovalores reais diferentes, um autovalor de multiplicidade 2, e dois autovalores complexos conjugados, respectivamente. Nos três casos, a solução numérica obtida via MDF com N=100 foi comparada com a solução exata obtida analiticamente, evidenciando sua eficácia na resolução desse tipo de PVCs. Especificamente, observou-se que as soluções analíticas e numéricas são praticamente indistinguíveis, sendo as diferenças máximas entre elas de ordens 10^{-4} , 10^{-6} e 10^{-5} , respectivamente.

5. REFERÊNCIAS BIBLIOGRÁFICAS

BOYCE, W.E.; DiPRIMA, R.C. **Equações Diferenciais Elementares e Problemas de Valores de Contorno**. Rio de Janeiro: LTC, 2010.

BRUM, R.S. **Modelagem computacional de trocadores de calor solo-ar.** 2013.118 f. Dissertação (Mestrado em Modelagem Computacional) - Programa de Pós Graduação em Modelagem Computacional, Universidade Federal do Rio Grande do Sul.

CONTE, S.D.; DeBOOR, C. **Elementary Numerical Analysis an Algorithmic Approach**. New York: McGraw-Hill, 1980.

NÓBREGA, E.S. Abordagem Analítica para análise térmica dos trocadores de calor solo-ar. 2021. Dissertação de Mestrado - Programa de Pós Graduação em Modelagem Matemática, Universidade Federal de Pelotas.